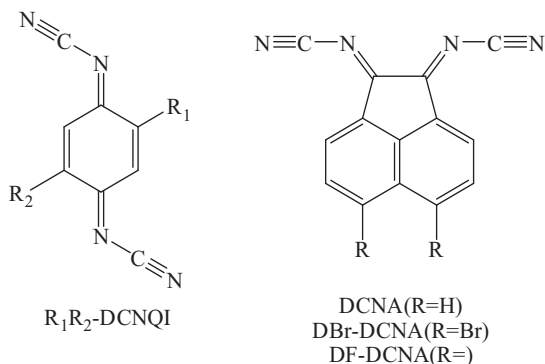


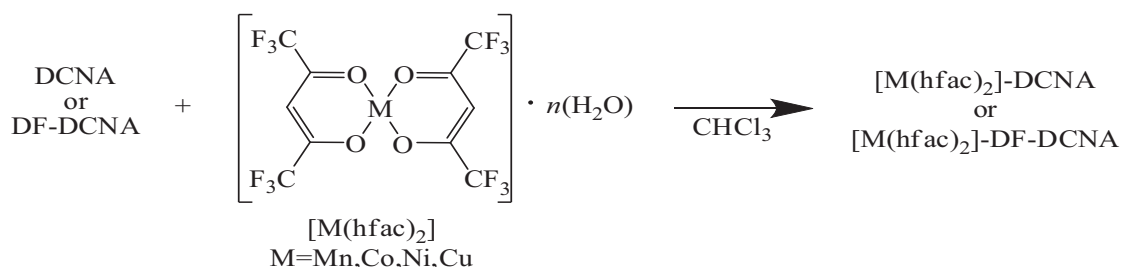
二座配位子 DCNA およびその金属錯体の合成と物性

(大阪電通大・工) ○鎌田吉拡, 青沼秀児

[序] シアノイミノ基の配位能を併せ持つ π 共役系分子として DCNQI が知られており、分子性導体(DCNQI)₂Cu は銅塩との配位を介した π -d 相互作用によって特異な物性を示す。DCNQI はパラ位にシアノイミノ基をもつ二座配位子である。これに対してオルト位にシアノイミノ基をもつ二座配位子としてアセナフテン骨格をもつ DCNA を合成した。ハロゲンの導入により、アクセプター性の向上を試み、DF-DCNA や DBr-DCNA を合成した^[1]。本研究ではこれらの二座配位子を用いた金属錯体の作製とその物性や構造について報告する。



[結果と考察] ヘプタンとの共沸によって配位水を取り除いた [M(hfac)₂] (M=Mn, Co, Ni, Cu) と DCNA を CHCl₃ 中でリフラックスすることにより、金属錯体の作製を試みた (Scheme 1)。各生成物の IR スペクトルにおいて、DCNA または DF-DCNA のシアノイミノ基の伸縮振動 (ν_{CN}) が約 30~60 cm⁻¹ 高波数側にシフトしていることから、錯体ができているものと考えられる (Table 1)。

Scheme 1. [M(hfac)₂]-DCNATable 1. [M(hfac)₂]-DCNA錯体とその ν_{CN} (cm⁻¹)

	[M(hfac) ₂]				
	Mn	Co	Ni	Cu	
DCNA	赤色針状晶 2181	黄色粉末 2243	褐色粉末 2247	緑色粉末 2245	緑色粉末 2249
				-	
DF-DCNA	赤褐色粉末 2187	黄綠色粉末 2212	黄褐色粉末 2222	黄綠色粉末	濃緑色粉末 2224

[Cu(hfac)₂]-DCNA の UV-Vis スペクトルは、DCNA の n- π^* 遷移(455nm)と[Cu(hfac)₂]の d-d*遷移(508nm)がそれぞれ 600~800nm 付近にゆるやかなピークとしてシフトしており、このことからも錯形成を示唆している。そのスペクトル解析から、[Cu(hfac)₂]:DCNA=2:1 と推定された。[Cu(hfac)₂]-DCNA は Fig. 1 のように二つのシアノイミノ基が別の[Cu(hfac)₂]に配位しているような構造であると考えられる。SQUID による磁化率測定の結果についても検討中である。

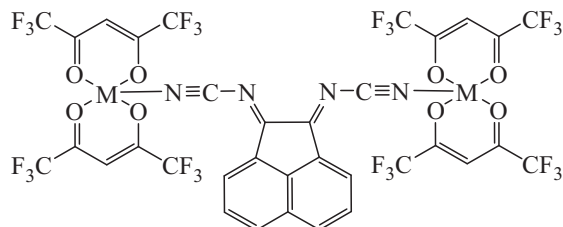


Fig. 1. [Cu(hfac)₂]-DCNA

また、DCNA を用いた伝導性アニオンラジカル塩の作製も試みた。LiClO₄ 共存下での電解還元法によって黒色針状晶が得られた。その室温比抵抗は $\rho_{RT}=3 \times 10^4 \Omega \text{ cm}$ であった。IR スペクトルの低波数シフトから、アニオンラジカル塩はできているものと考えられる。

DBr-DCNA および DF-DCNA を用いたアニオンラジカル塩の作製には現在成功していない。そこで、さらなる結晶性およびアクセプター性の向上を目指して他のハロゲン置換体の合成を試みている。分子軌道計算で求めた LUMO のエネルギー準位 ε_{LUMO} は DCNA のアクセプター性の指標とすることができます^[1]。GAMESS^[2]を用いて RHF/6-31G で見積もった ε_{LUMO} の値から DCl-DCNA および DCl-DCNA-Br₂ はこれまで合成してきた DBr-DCNA や DF-DCNA よりも高いアクセプター性が期待できる (Table 2)。現在、対応するハロアセナフテンからの合成方法について検討中である。

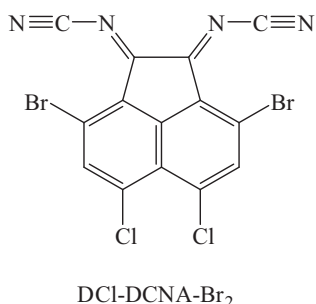


Table 2. RHF/6-31Gで求めたLUMOのエネルギー準位

	$\varepsilon_{LUMO} / \text{eV}$
DCNA	-0.245
DF-DCNA	-0.588
DBr-DCNA	-0.601
DCl-DCNA	-0.664
DCl-DCNA-Br ₂	-0.697

【参考文献】

- [1] S. Aonuma, E. Fujiwara, T. kanzawa and Y. Hosokoshi, J. of Phys. : Conf. Ser. 132 012027(2008)
- [2] M. W. Schmidt et al., J. Comput. Chem. 14, 1347-1363(1993)